

УДК 541.697: 547.466

МЕТАКРИЛОВІ ЕСТЕРИ ДЕЯКИХ ПОХІДНИХ ТИРОЗИНУ, ЇХ ПОЛІМЕРИЗАЦІЯ ТА БІОЛОГІЧНА АКТИВНІСТЬ

Н.М.Юхименко, О.Ю.Колендо, Л.С.Бобкова*, О.П.Колядич, О.П.Шумейко*

Київський національний університет ім. Тараса Шевченка
01033, м. Київ, вул. Володимирська, 60. E-mail: yunata@univ.kiev.ua

* Інститут фармакології і токсикології АМН України

*Ключові слова: тирозин; пептиди; естери; мономери; полімеризація; кополімеризація; антиракова дія**Отримані нові похідні тирозину та його пептидів, мономери на їх основі, вивчена їх полімеризація та кополімеризація, досліджено біологічну активність представника цього класу сполук, виявлено антиракову дію.***METHACRYLIC ESTERS OF SOME TYROSINE DERIVATIVES, THEIR POLYMERIZATION AND BIOLOGICAL ACTIVITY****N.M.Yukhimenko, O.Yu.Kolendo, L.S.Bobkova, O.P.Kolyadych, O.P.Shumeyko***New tyrosine derivatives and its peptides, as well as monomers based on them have been obtained, their polymerization and copolymerization have been studied, the biological activity of a representative of this class of compounds has been investigated, its anticancer action has been revealed.***МЕТАКРИЛОВЫЕ ЭФИРЫ НЕКОТОРЫХ ПРОИЗВОДНЫХ ТИРОЗИНА, ИХ ПОЛИМЕРИЗАЦИЯ И БИОЛОГИЧЕСКАЯ АКТИВНОСТЬ****Н.Н.Юхименко, А.Ю.Колендо, Л.С.Бобкова, Е.П.Колядич, Е.П.Шумейко***Получены новые производные тирозина и его пептидов, мономеры на их основе, изучена их полимеризация и сополимеризация, исследовано биологическую активность представителя этого класса соединений, выявлено антираковое действие.*

Похідні тирозину, як і інших амінокислот, виявляють виразу біологічну активність. Одержання мономерів, зокрема метакрилових естерів на основі їх фенольних груп, відкриває перспективу створення полімерів, що матимуть пролонговану дію відповідних біологічних властивостей [1, 2].

Результати та їх обговорення

Вихідний фталімідотирозин **Ia** одержано конденсацією еквімолярних кількостей фталевого ангідриду та *L*-тирози́ну. Пептиди **Ib-Ie** синтезували взаємодією фталімідотирозину або фталімідофенілаланіну з *L*-фенілаланіном, *L*-тирози́ном або бензиламіном після попередньої активації карбоксильної групи фталімідовмісної похідної гідроксисукцинімідом [3].

Мономери **Pa-Pe** одержані ацилюванням сполук **Ia-Ie** ангідридом метакрилової кислоти.

Для доведення будови синтезованих сполук використані дані ПМР- та УФ-спектроскопії. У ПМР ("Bruker-400", DMSO-*d*₆) спектрах сполук **Ia-Ie** сигнали ароматичних протонів тирозину знаходяться близько 6,93-7,00 м.ч. (дублет) та 7,17-7,25 м.ч. (дублет). У спектрах метакрилатів сигнал протонів метильної групи знаходиться при 2,03 м.ч. (синглет), а метиленової — при 5,76-5,82 та 6,20-6,29 м.ч. (дублет) (схема 1).

З метою вивчення полімеризаційної здатності нових мономерів нами було досліджено кінетику

радикальної термоініційованої гомополімеризації нових мономерів ділатометричним методом у розчині ДМФА при температурі 80°C у присутності 1% АІБН (рис. 1).

На основі кінетичних даних розраховані швидкості росту, наведену швидкість та сумарну константу швидкості полімеризації, що відображено в табл. 2. Як видно з рис. 1 та табл. 2, всі нові мономери полімеризуються в розчині при ініціюванні АІБН з більшою швидкістю, ніж незаміщений фенілметакрилат (ФМА), але повільніше, ніж раніше вивчений фталімідофенілметакрилат (п-ФТІФМА). Найбільш активними в полімеризації є мономер **Pa**, його бензильна похідна **Pb** і **Pc** та його фенілаланіновмісний дипептид **Pe**, а найменш активними — мономери **Pb** і **Pd** з трьома та чотирма π-електронними системами. Мономери, що мають близьку молекулярну масу, полімеризуються з майже однаковою швидкістю.

Вивчення кінетики радикальної гомополімеризації мономера **Pa** з різним вмістом ініціатора (АІБН) (рис. 2) показало, що на другій стаціонарній ділянці (20-100 хв) порядок за ініціатором складає 0,5, а протягом перших 20 хв залежності швидкості процесу від вмісту ініціатора майже немає. Тому було проведено експеримент без ініціатора (рис. 2). Полімеризація мономера відбувається, але з малою швидкістю ($K\Sigma = 0.66 \cdot 10^{-3}$) та конверсією (близько 10% за 100 хв).

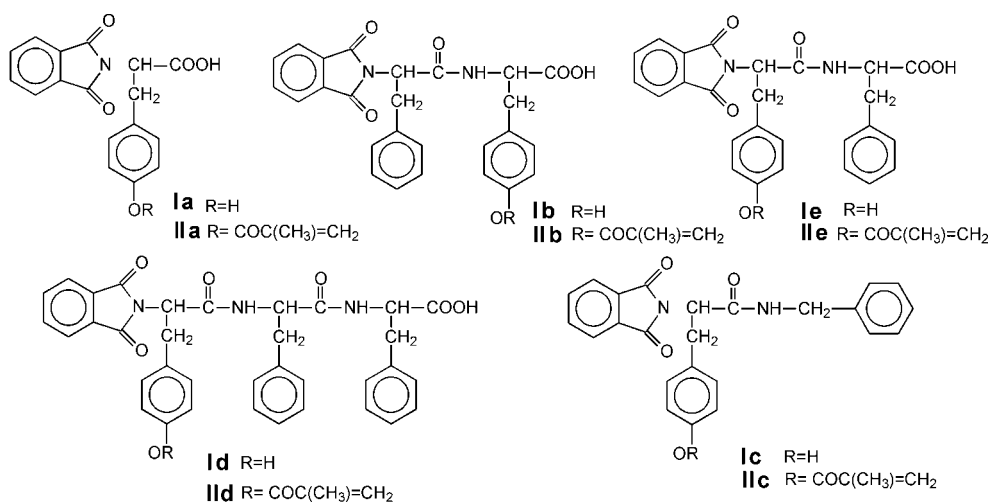


Схема 1

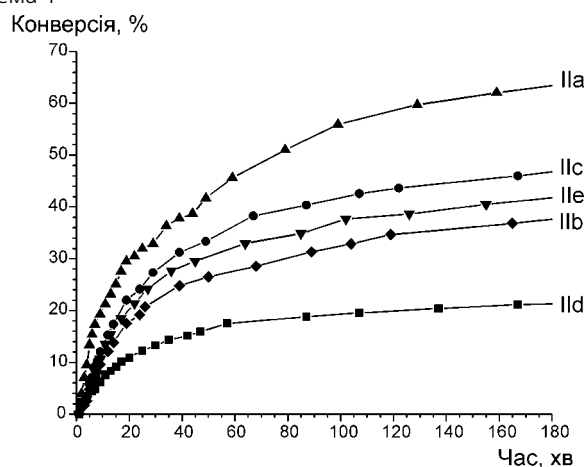


Рис. 1. Кінетичні криві радикальної гомополімеризації 10% розчинів мономерів IIa-IIe в ДМФА при 80°C та 1% АІБН.

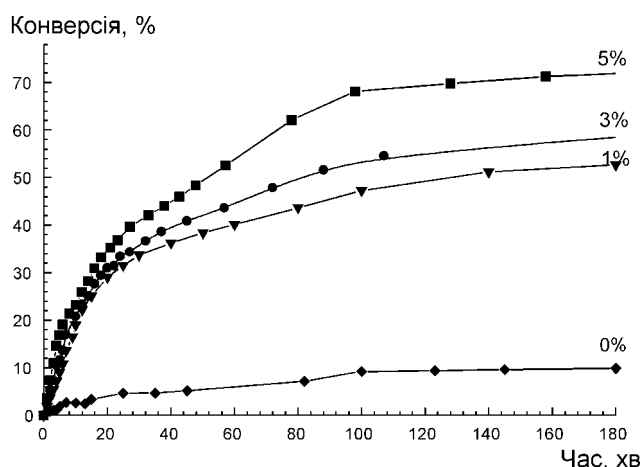


Рис. 2. Кінетичні криві радикальної гомополімеризації 10% розчину мономера IIa при 80°C з 1, 3, 5% АІБН та без додавання ініціатора.

Дилатометричне дослідження кінетики радикальної фотоініційованої полімеризації мономера **IIa** (15% розчин в ДМФА, 30°C) показало (рис. 3), що він полімеризується, як при ініціюванні бензоїном (5%) — ($K\Sigma = 1,47 \cdot 10^{-3}$), причому швидше за подібний за будовою, але без спейсера п-фталімідофенілметакрилат — ($K\Sigma = 1,30 \cdot 10^{-3}$), так і без додавання фотоініціатора — ($K\Sigma = 0,34 \cdot 10^{-3}$). Останнє значення трохи менше за відповідне для м-ацетиламінофенілметакрилату ($K\Sigma = 0,50 \cdot 10^{-3}$), що має близький сумарний електронний ефект замісника.

Оскільки мономер **IIa** здатний до фотополімеризації без ініціатора за рахунок утворення віль-

них радикалів при освітленні, було цікаво перевірити можливість утворення щеплених кополімерів [4]. Відомо, що під впливом УФ-світла в частині полімерних ланок, які містять ацилоксифенільний або ациламінофенільний фрагмент, відбувається фотоперегрупування Фріса, при цьому утворюються вільні радикали двох типів (схема 2).

Нами показано, що полімеризація метилметакрилату у присутності полі-**IIa** проходить з утворенням лінійного полі метилметакрилату (схема 3).

А у присутності м- або п-ацетиламінофенілметакрилату утворюється щеплений кополімер, оскільки

Таблиця 1

Властивості вихідних тирозиновмісних сполук та їх метакрилатів

Шифр	М.м.	Т.пл., °C	Вихід, %	Шифр	М.м.	Т.пл., °C	Вихід, %
Ia	310	195	74	IIa	378	168	74
Ib	457	-	63	IIb	525	124	65
Ic	399	206	78	IIc	467	126	78
Id	604	117	53	IId	672	157	62
Ie	457	-	71	IIe	525	123	69

Таблиця 2

Кінетичні параметри термоініційованої радикальної полімеризації мономерів IIa-IIe, фенілметакрилату та п-фталімідофенілметакрилату (80°C, 10% в ДМФА, 1% АІБН)

Шифр сполуки	Скорочена назва	Мол. маса	$V_{пр} \cdot 10^4, c^{-1}$	$V_p \cdot 10^4, \text{ моль/л} \cdot c$	$K\Sigma \cdot 10^3$
IIa	Pht-TyrMA	378	2,45	0,81	3,64
IIa**	Pht-TyrMA**	378	0,52	0,14	0,66
IIb	Pht-Phe-L-TyrMA	525	1,17	0,23	2,18
IIc	Pht-TyrMA-Benz	467	2,35	0,51	2,8
II d	Pht-TyrMA-L-Phe-L-Phe	672	1,22	0,18	1,45
IIe	Pht-TyrMA-L-Phe	525	1,89	0,36	2,26
	ФМА	162	0,61	0,37	1,1
	п-ФТІФМА	307	4,14	1,35	7,5

** - полімеризація без ініціатора.

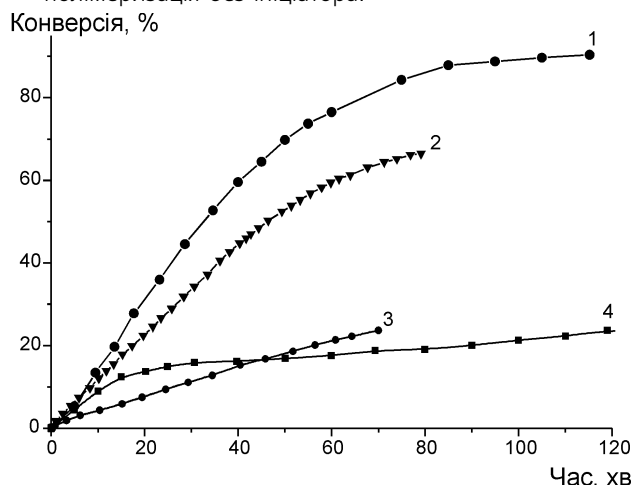


Рис. 3. Кінетичні криві фотоініційованої полімеризації 15% розчину Pht-TyrMA (крива 1), п-ФТІФМА (крива 2), п-ААФМА (крива 3) (бензоїн 5%) та без ініціатора для Pht-TyrMA (крива 4) в ДМФА при 30°C.

ки полімеризацію ініціюють ариловмісні радикали, що виходять з “клітки” (схема 4).

За допомогою даних ПМР спектрів та віскозиметричних досліджень встановлено, що в останньому випадку співвідношення ланок ММА:п-ААФМА у кополімері складає 3:1.

За даними спектрів фосфоресценції показано, що в усіх одержаних гомо- та кополімерах зберігається ефект перенесення енергії збудження.

Проведені біологічні дослідження сполуки **IIa**. Гостра токсичність визначена на білих мишах масою (20,89±3,73) г за методом Лічфілда-Вілкоксона (табл. 3) [5, 6]. Значення ЛД₅₀ (внутрішньоочеревинно) (245,0±6,63) мг/кг (термін спостереження — 14 діб).

Визначено, що загроза загибелі білих мишей після внутрішньоочеревинного введення сполуки **IIa** в токсичних дозах 2000, 1500, 1000, 500 мг/кг є найбільш вірогідною у терміни спостереження від 24-ої до 72-ої години.

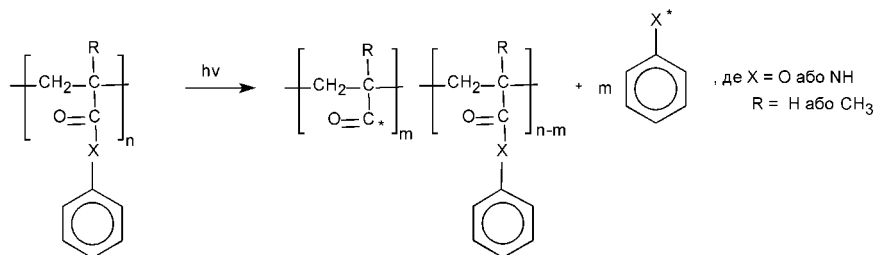


Схема 2

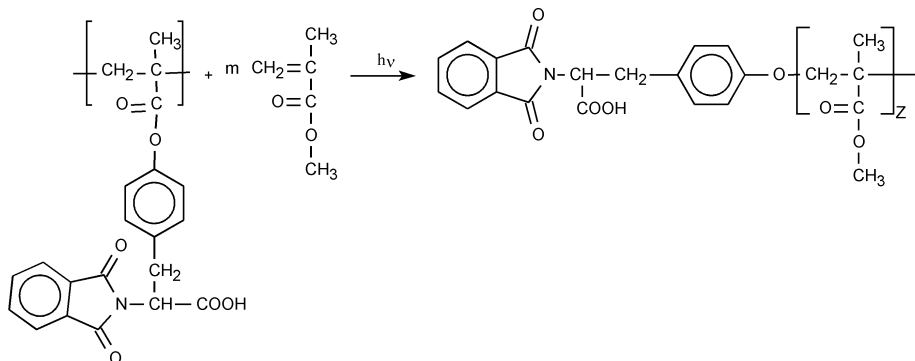


Схема 3

Таблиця 3

Токсикометричні характеристики сполуки IIa

Показник	ЛД ₉₅	ЛД ₈₄	ЛД ₅₀ ^{h336}	ЛД ₁₆	ЛД ₁₀	Lim _{ac}	ОБРВ
Значення показника, мг/кг	780,0	490,0	245,0±6,63	115,0	95,5	34,3	3,68

Таблиця 4

Характер кумулятивних ефектів сполуки IIa (білі миші)

функціональний	Кумулятивний ефект	
	при дозі ЛД ₅₀ (багаторазово), мг/кг	коефіцієнт кумуляції
	12,5	19,6
матеріальний	ступінь кумуляції	
	7,1	зона смертельної дії доз
		6-18

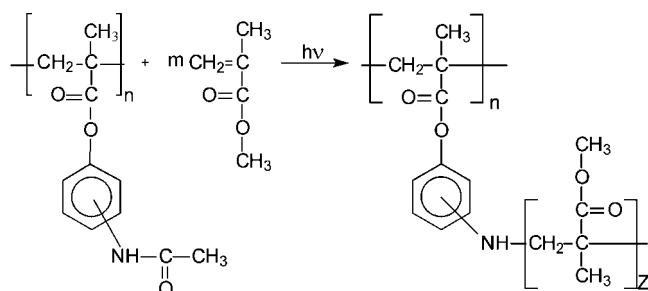


Схема 4

Вивчення характеру кумулятивних ефектів, викликаних сполукою IIa, показало мінімальну матеріальну кумуляцію (табл. 4).

Сполука IIa проявляє певну протипухлинну дію. Так, гальмування росту пухлин саркоматозного процесу (лімфосаркома Пліса, саркома 45) сполукою IIa знаходиться на рівні (21,0±2,1)% та (15,1±5,2)% відповідно.

Література

- Savchenko I., Syromiatnikov V., Kolendo A. *Polymers and their models with aminoacid residues // Polish-Ukrainian Conference "Polymers of special applications" Book of abstracts. — Radom, Poland, 2000. — P. 104.*
- Юхименко Н.Н., Колендо А.Ю., Сыромятников В.Г. // *Вопр. химии и хим. технол.* — 2002. — №3. — С. 136-138.
- Гершкович А.А., Кибирев А.А. *Химический синтез пептидов.* — К.: *Наук. думка*, 1992. — 359 с.
- Пат. 72080 (2005). Україна // Б.В. — 2005. — №1.
- Шумейко В., Овруцький В. *Пухлинна хвороба. Напрями протидії інтоксикації: Монографічні нотатки.* — К.: *Екорегіо-ЕТХІ*, 2001. — 105 с.
- Методические указания по изучению противоопухолевой активности фармакологических веществ / Е.М.Трещалина, А.М.Гарин, А.С.Смирнова и др. — М.: ФЦ МЗ РФ, 2000. — 7 с.*
- Akashi M., Yashima E., Uchida S. et al. // *IUPAC 32-nd Int. Symp. Macromol., Kyoto, 1-6 Aug., 1988. Prepr.* — P. 596.

Надійшла до редакції 20.01.2010 р.

Таким чином, проведені біологічні дослідження передбачають подальше вивчення сполуки IIa та хімічну модифікацію даної структури. При цьому слід враховувати, що протипухлинна активність зазвичай вища у полімерів і особливо у деяких кополімерів, ніж у мономерів — метакрильних похідних біологічно активних сполук [7].

Висновки

Синтезовані нові тирозиновмісні пептиди і мономери на їх основі. Будову всіх продуктів вивчено спектральними методами і показано, що у присутності нових мономерів та їх полімерів відбувається процес радикальної полімеризації метилметакрилату як при $T > 60^\circ\text{C}$, так і при освітленні УФ-світлом при кімнатній температурі. Вивчені кінетичні закономірності радикальної термо- та фотоініційованої полімеризації метакрилових похідних. Проведені біологічні дослідження виявили перспективність подальшого дослідження цього класу полімерних сполук.